

## 酸化チタンを含む溶融スラグの電気伝導度（I）\*

(Na<sub>2</sub>O-SiO<sub>2</sub>-TiO<sub>2</sub> 系)

森 一 美\*\*

THE ELECTRICAL CONDUCTIVITY OF MOLTEN SLAGS  
CONTAINING TITANIUM-OXIDE (I)(Na<sub>2</sub>O-SiO<sub>2</sub>-TiO<sub>2</sub> System)*Kazumi Mori*

## Synopsis:

In order to study the behaviour of TiO<sub>2</sub> in molten slags, the electrical conductivity of the Na<sub>2</sub>O-SiO<sub>2</sub>-TiO<sub>2</sub> system was measured. The measured range of composition was TiO<sub>2</sub> 0~35 mol % at Na<sub>2</sub>O/SiO<sub>2</sub>=0.40, 0.50 and 0.61. The conductivity decreases smoothly with temperature. At constant temperature the conductivity remains almost unchanged for the slags containing TiO<sub>2</sub> less than 10 mol%, but with more TiO<sub>2</sub> the conductivity decreases with increase of TiO<sub>2</sub>.

The conduction mechanism is ionic, and the mobile ion is Na<sup>+</sup>. Ti ion cannot move, because the bonds Ti-O is strong owing to small ionic radius and large ionic valency.

The molar electrical conductivity, which corresponds directly to the mobility of Na<sup>+</sup>, was calculated. At the range of low TiO<sub>2</sub> contents Ti ions distort Si-O network, raising the mobility of Na<sup>+</sup>, while at the range of high TiO<sub>2</sub> contents oxygen ions impede the conduction of Na<sup>+</sup>, thus lowering the mobility of Na<sup>+</sup>. The latter behaviour of TiO<sub>2</sub> is different from SiO<sub>2</sub> or Al<sub>2</sub>O<sub>3</sub>, because TiO<sub>2</sub> lowers viscosity of sodium-silicate contrary to SiO<sub>2</sub> and Al<sub>2</sub>O<sub>3</sub>. TiO<sub>2</sub> is amphoteric, and it behaves as basic oxide at low contents, while it is like an acidic oxide at high contents.

For the series Na<sub>2</sub>O/SiO<sub>2</sub>=0.50 the conductivity of slags containing TiO<sub>2</sub> 40~50 mol% was measured. In the conductivity-temperature curve an anomalous point appears in the neighbourhood of solidifying temperature, suggesting the behaviour of TiO<sub>2</sub> as a semi-conductor.

It was summarized that the peculiar behaviour of TiO<sub>2</sub> would be ascribed to the following facts:

- (1) The bonds Ti-O are strong, and Ti ion has the strong action of "network distortion"
- (2) Ti is a transition metal; and TiO<sub>2</sub> is a typical semi-conductor.

## I. 緒 言

最近国内資源の活用とゆう見地から砂鉄を一般製錬原料として使用したり、あるいはチタニウム資源として高チタンスラグの製造原料に用いる問題が大きく取り上げられているが、この場合スラグ中に含まれる TiO<sub>2</sub> の本質的挙動を知ることが極めて重要である。TiO<sub>2</sub> はスラグ中では種々の特異な興味ある挙動を持つているが、これについての深い理論的研究は従来ほとんど行なわれていない。

珪酸塩系の溶融スラグについては電気伝導度、粘性等の物性論的研究および活量の測定が行なわれ、幾多の現象がイオン、原子などの基礎的数値により、かなり系統的に説明されるようになつた。

しかしながらこのような珪酸塩系のスラグについて得られた理論を TiO<sub>2</sub> を含むスラグに適用せんとする場合、種々の矛盾が生ずる。その一つに高チタンスラグの溶融状態における電気伝導度の問題がある。イルメナイトから製造される高チタンスラグの電導度は通常の珪酸塩系のスラグにくらべて非常に大きいとゆう J. L. Wyatt<sup>1)</sup> の研究に対し、J. W. Tomlinson は TiO<sub>2</sub> は電導度に関しては SiO<sub>2</sub> と同様な挙動を持つており、事実 SiO<sub>2</sub>-TiO<sub>2</sub> (TiO<sub>2</sub> 10%) スラグの電導度は非常に小さいと反論している<sup>2)</sup>。

\* 昭和 28 年 4 月及び昭和 30 年 4 月本会講演大会  
にて講演

\*\* 茨城大学工学部金属工学教室

著者は前に<sup>3)~6)</sup>溶融スラグの本質を電気伝導度測定により、かなりの程度まで解明し得たが、その第3報<sup>5)</sup>として、珪酸ソーダにスラグを構成する種々の酸化物を加えた場合の電気伝導度を測定し、その結果からこれらの成分のスラグ中における性質、すなわち酸性、塩基性ないしは塩基の強さなどが系統的に説明できたことから同様な趣旨のもとに珪酸ソーダに  $TiO_2$  を加えた系の電導度を測定し、 $TiO_2$  の本質的挙動について若干の考察を加えた。

## II. 実験方法。

従来<sup>3)~6)</sup>著者が用いてきた通常のコールラウシ型交流ブリッジ法により抵抗を求めた。電源としては音叉発振器により700サイクルの交流を発生させ、これをブリッジに入れ、その平衡点は真空管二段増幅による回路で増幅し、受話器によつて求めた。求められた抵抗値から導線および電極を含めた配線抵抗を差引き、0.1N KCl 溶液により測定した容器恒数を除し、比電導度を算出した。

6本のエレマを有する電気炉により、緻密なアランダム坩堝内に試料を溶解した。電極としてはニッケル鍍金した3mmφの純鉄棒を使用した。この場合後記の分析結果が示すようにスラグによる坩堝の侵蝕および電極の侵蝕は無視できるものと思われる。測温は Pt-Pt.Rh 熱電対により、スラグ表面に保護管の先端が触れるごとくして行なつた。

試料は  $Na_2CO_3$ 、水晶粉末および  $TiO_2$  を正確に秤量混合したものをおん壠に入れ、溶解してから約1300°Cに保持し、 $Na_2CO_3$  の分解を完了させ、気泡のないのを確かめてから間隔を13mmとした2本の電極を液中に7mm挿入し、温度を下げながら測定を行なつた。

## III. 結 果

Table 1に試料の秤量値と分析値の比較を示したが、両者の間の差は非常に少なく、以下の結果はすべて秤量値で示す。

Table 1. Comparison of calculated and analysed compositions in the system  $Na_2O-SiO_2-TiO_2$ .

| Composition (%), Calculated |         |         | Composition (%), Analysed |         |         |       |           |
|-----------------------------|---------|---------|---------------------------|---------|---------|-------|-----------|
| $Na_2O$                     | $SiO_2$ | $TiO_2$ | $Na_2O$                   | $SiO_2$ | $TiO_2$ | $FeO$ | $Al_2O_3$ |
| 29.22                       | 70.78   | —       | 28.80                     | 70.98   | —       | 0.22  | Tr.       |
| 27.32                       | 66.19   | 6.49    | 26.75                     | 66.32   | 6.70    | 0.22  | Tr.       |
| 23.71                       | 57.42   | 18.67   | 23.45                     | 57.40   | 18.90   | 0.24  | Tr.       |
| 17.09                       | 41.40   | 41.51   | 17.01                     | 41.40   | 41.40   | 0.29  | 0.10      |
| 38.75                       | 61.25   | —       | 38.33                     | 61.24   | —       | 0.22  | 0.06      |
| 29.17                       | 46.10   | 24.73   | 28.89                     | 45.98   | 24.90   | 0.20  | Tr.       |
| 20.65                       | 32.65   | 46.70   | 20.64                     | 32.20   | 46.80   | 0.36  | Tr.       |

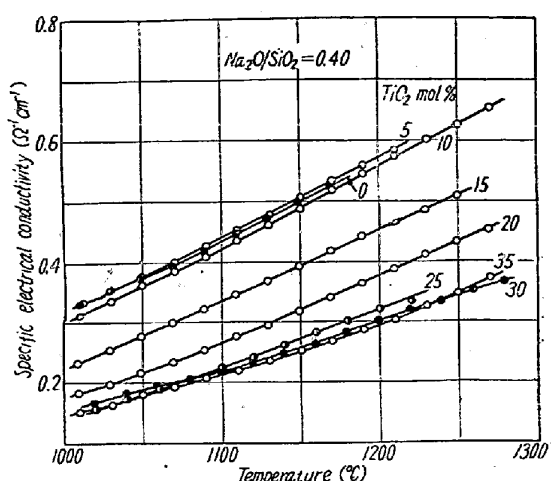


Fig. 1. Dependence of specific electrical conductivity on temperature for the series  $Na_2O/SiO_2 = 0.40$  ( $Na_2O-SiO_2-TiO_2$  system)

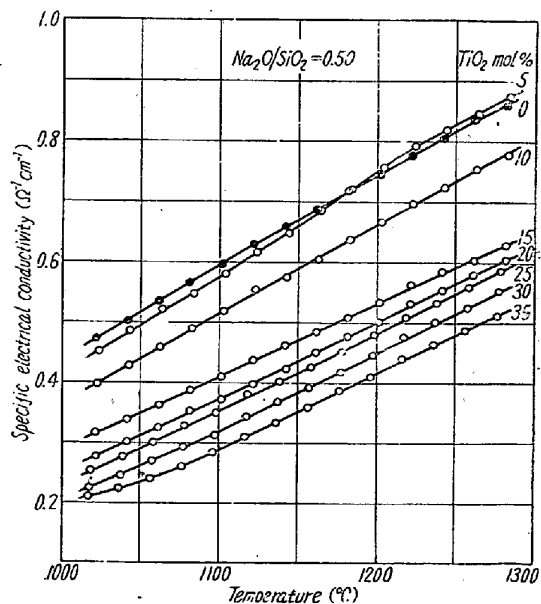


Fig. 2. Dependence of specific electrical conductivity on temperature for the series  $Na_2O/SiO_2 = 0.50$  ( $Na_2O-SiO_2-TiO_2$  system)

測定は  $Na_2O/SiO_2$  をそれぞれ 0.40, 0.50, および 0.61 に一定にし、 $TiO_2$  を 5 mol% 每に変化させた組成について行なつた。Fig. 1, Fig. 2 および Fig. 3 に

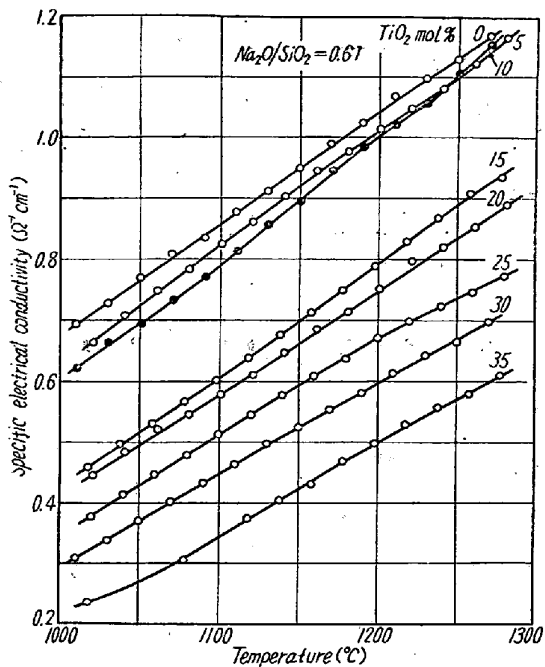


Fig. 3. Dependence of specific electrical conductivity on temperature for the series  $\text{Na}_2\text{O}/\text{SiO}_2 = 0.61$  ( $\text{Na}_2\text{O}-\text{SiO}_2-\text{TiO}_2$  system)

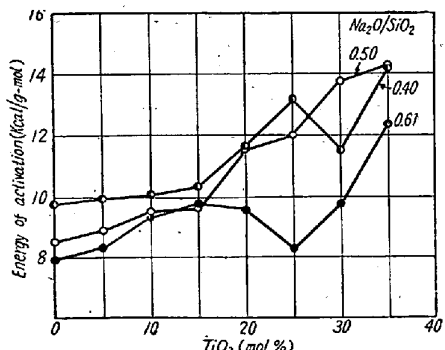


Fig. 4. Energy of activation for electrical conductivity ( $\text{Na}_2\text{O}-\text{SiO}_2-\text{TiO}_2$  system)

それぞれの系列について  $\text{TiO}_2$  35 mol%までの比電導度と温度の関係を示した。これから分ることはいづれの系列についても比電導度は温度の下るとともに滑らかに減少している。比電導度の対数  $\log \kappa$  と絶対温度の逆数との関係は概して二本の直線にて示されるが、その中の高温部のものから活性化エネルギーを求めたのがFig. 4である。各系列とも  $\text{TiO}_2$  が増加するとともに活性化エネルギーの増加している傾向が認められ、また  $\text{Na}_2\text{O}/\text{SiO}_2$  が減少するほど活性化エネルギーは大きい。

これらはいづれも  $\text{TiO}_2$  35 mol%までの結果であるが、 $\text{TiO}_2$  がそれ以上になると電導度と温度の関係は少しく異なる。Fig. 5 に  $\text{Na}_2\text{O}/\text{SiO}_2 = 0.50$  の系列につき、 $\text{TiO}_2$  40, 45, 50 mol%の電導度を示した。これから分ることは  $\text{TiO}_2$  が 40 mol%以上になると凝固

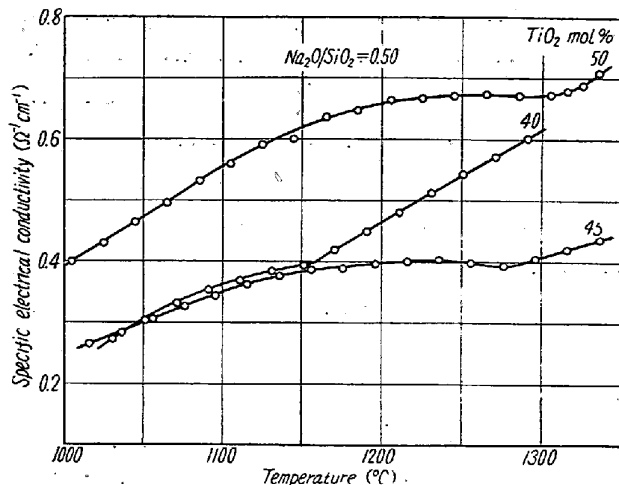


Fig. 5. Dependence of specific electrical conductivity on temperature for the series  $\text{Na}_2\text{O}/\text{SiO}_2 = 0.50$  at high concentrations of  $\text{TiO}_2$  ( $\text{Na}_2\text{O}-\text{SiO}_2-\text{TiO}_2$  system).

開始とともに電導度減少が一度止るとゆう異常変化が現われた。凝固に伴うこのような異常現象は従来測定された珪酸塩系のスラグには見られなかつた。さらに測定後炉中冷却した試料が  $\text{TiO}_2$  35 mol%まではいづれもガラス状に凝固したのに対し、これらの  $\text{TiO}_2$  の高いスラグは淡黄色の結晶したものであつた。 $\text{TiO}_2$  40 mol%以上になると電導の機構が  $\text{TiO}_2$  がそれ以下の場合とは次第に異なつてくるものと思われる。

Fig. 6 は 1200°Cにおける比電導度と  $\text{TiO}_2$  濃度の関係である。概観して  $\text{TiO}_2$  10 mol%附近までは電導度には余り大きな変化はないが、15 mol%になると急に減少し、以下ゆるやかに減少してゆく。 $\text{Na}_2\text{O}/\text{SiO}_2 = 0.50$  の系列について、 $\text{TiO}_2$  の多い場合の Fig. 5 の結果をも含めてみると、 $\text{TiO}_2$  40 mol%以上高くなると、 $\text{TiO}_2$  濃度による電導度変化は複雑な関係を示してくれることが分る。

#### IV. 考 察

##### (1) 電導の機構

Fig. 1～3 から分るように電導度が温度とともに大きくなっていること、比電導度がイオン電導をする一般的の珪酸塩系スラグとおなじく  $0.1 \sim 1 \Omega^{-1} \text{cm}^{-1}$  程度の大きさであること<sup>3)</sup>、および Fig. 4 に示すように活性化エネルギーの大きさも典型的なイオン電導体である  $\text{Na}_2\text{O}-\text{SiO}_2$  系<sup>3)</sup>と同程度であるから、少くとも  $\text{TiO}_2$  35 mol%まではイオン電導の機構を持つことは確かである。

つぎに電導に与るイオン如何とゆう問題である。著者は前に<sup>5)</sup> 硅酸ソーダに種々の酸性、塩基性酸化物を加

えて行つた場合の電導度を測定し、一般に塩基性酸化物を加えると電導度は大きくなり、酸性酸化物を加えると小さくなつてゆくことをみい出し、それは塩基性酸化物では原成分の  $\text{Na}^+$  の他に陽イオンが電導に関与することが一つの理由であることを明らかにした。

Fig. 6 から分るよう、 $\text{TiO}_2$  が増加してゆくと一般に電導度が減少しているのは  $\text{SiO}_2$ ,  $\text{Al}_2\text{O}_3$  を加えた場合と同様<sup>3)</sup> 原成分において電導にあずかる  $\text{Na}^+$  濃度減少が一つの理由である。この点に関しては  $\text{TiO}_2$  は直接電導に関与していない。

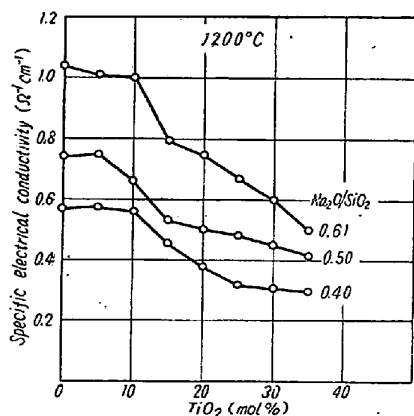


Fig. 6 Change in specific electrical conductivity with concentration of  $\text{TiO}_2$  ( $\text{Na}_2\text{O}-\text{SiO}_2-\text{TiO}_2$ -system).

#### (2) 分子伝導度と $\text{TiO}_2$ の挙動

元来  $\text{Ti}^{4+}$  はイオン半径が  $0.68\text{\AA}$  (結晶半径) で小さく、またイオン価は 4 で大きい。したがつて  $\text{Ti}-\text{O}$  の引力は極めて大きく、 $\text{Ti}^{4+}$  は  $\text{Si}^{4+}$ ,  $\text{Al}^{3+}$  と同様に電気伝導に直接関係することができない。この点が前項で述べたごとき  $\text{TiO}_2$  の  $\text{SiO}_2$  および  $\text{Al}_2\text{O}_3$  との類似性となつて現われているのである。

しかるに電導におけるもう一つの因子であるイオンの易動度を考えると  $\text{TiO}_2$  と  $\text{SiO}_2$  および  $\text{Al}_2\text{O}_3$  との差異が明らかに現れてくる。電導に与る  $\text{Na}^+$  の易動度を考えるために  $\text{Na}_2\text{O}$  に関して分子伝導度  $\mu$  を  $1200^\circ\text{C}$  について計算した。これに用いた密度の値は  $\text{Na}_2\text{O}-\text{SiO}_2$  系についての実測値<sup>13)</sup> と凝固試料の値から両者の比を求め、その両者の比は  $\text{Na}_2\text{O}/\text{SiO}_2$  が一定の場合には変化しないものと見做し、凝固試料の値から推算した。すなわち  $\text{Na}_2\text{O}/\text{SiO}_2=0.40$ ,  $0.50$  および  $0.61$  の系列についてこの比を  $0.91$ ,  $0.90$  および  $0.89$  とした。 $\text{Na}_2\text{O}$  に関しての分子伝導度  $\mu$  はつきの式によつて求められる。

$$\mu = \kappa M / dn$$

d: 密度

M:  $\text{Na}_2\text{O}$  の分子量

n:  $\text{Na}_2\text{O}$  の wt% を 100 で割つた値。

その結果を Table 2 に示す。 $\text{TiO}_2$  が少ないと分子伝導度はむしろ増加しているが、 $\text{TiO}_2$  濃度が高くなると、次第に減少する傾向がある。この結果はそのまま  $\text{Na}^+$  の易動度の変化を示しているわけである。

Table 2. Molar electrical conductivity of  $\text{Na}_2\text{O}$  for the system  $\text{Na}_2\text{O}-\text{SiO}_2-\text{TiO}_2$  at  $1200^\circ\text{C}$ .

| $\text{TiO}_2$<br>(mol%) | Molar electrical conductivity             |   |   |
|--------------------------|---|---|---|
|                          | $\text{Na}_2\text{O}/\text{SiO}_2 = 0.40$ | $\text{Na}_2\text{O}/\text{SiO}_2 = 0.50$ | $\text{Na}_2\text{O}/\text{SiO}_2 = 0.61$ |
| 0                        | 53.89                                     | 60.29                                     | 74.41                                     |
| 5                        | 58.11                                     | 63.65                                     | 75.44                                     |
| 10                       | 57.80                                     | 58.67                                     | 78.33                                     |
| 15                       | 49.40                                     | 49.62                                     | 65.37                                     |
| 20                       | 43.22                                     | 49.22                                     | 65.04                                     |
| 25                       | 38.62                                     | 50.27                                     | 61.79                                     |
| 30                       | 39.11                                     | 49.99                                     | 58.71                                     |
| 35                       | 40.57                                     | 49.10                                     | 52.31                                     |

K. Endell および H. Hellbrügge<sup>8)</sup> の研究によると  $\text{SiO}_2$ ,  $\text{Al}_2\text{O}_3$  は珪酸ソーダの粘性を増加させるが  $\text{TiO}_2$  は逆に減少させることができるのである。これは  $\text{Ti}^{4+}$  が  $\text{SiO}_4$  network の Si-O 結合をゆるめるいわゆる “network distortion”<sup>9)</sup> の作用を持つためである。本実験において Table 2 に示されたように  $\text{TiO}_2$  が少ないところで  $\text{Na}_2\text{O}$  の分子伝導度が増加するのは実にこの “network distortion” によるものである。

さらに  $\text{TiO}_2$  が高くなつた場合に逆に分子伝導度が減少するのは  $\text{TiO}_2 \rightarrow \text{Ti}^{4+} + 2\text{O}^{2-}$  により  $\text{O}^{2-}$  が多くなり、これが  $\text{Na}^+$  を束縛するようになり、 $\text{Na}^+$  の易動度を減少させるからである。前述のごとく  $\text{TiO}_2$  を加えると珪酸ソーダの粘性はかなり減少するから、この場合の  $\text{Na}^+$  の易動度の減少は  $\text{SiO}_2$  や  $\text{Al}_2\text{O}_3$  を加えた場合のそれとは異なる作用によるわけである。実際上の問題としてイルメナイトから高チタンスラッグと銑鉄を製造する場合、 $\text{Na}_2\text{CO}_3$  または  $\text{NaOH}$  を加えるソーダ法<sup>10)11)12)</sup>においてはスラッグ中に  $\text{Na}_2\text{O}$  が含有されるが、この場合  $\text{Na}_2\text{O}$  と  $\text{TiO}_2$  との間には結合が生ずるわけであり、また実際にチタン酸ソーダのような組織も見出されている。

#### (3) $\text{TiO}_2$ の酸性、塩基性の問題

元來  $\text{TiO}_2$  は両性酸化物であるといわれている。K. H. Sun<sup>13)</sup> は酸化物の酸、塩基の強さを示すものとして、陽イオンと酸素イオンの結合の相対的強さを求めているが、Sun の論文からいくつかのものを引用して Table 3

に示した。

Table 3. Scale of acidity and basicity in glass<sup>13)</sup>

| SiO <sub>2</sub> | P <sub>2</sub> O <sub>5</sub> | Al <sub>2</sub> O <sub>3</sub> * | TiO <sub>2</sub> | MgO | CaO |
|------------------|-------------------------------|----------------------------------|------------------|-----|-----|
| 106              | 88～111                        | 79～101 (4)<br>53～67 (6)          | 73               | 37  | 32  |

\* Figures in the parentheses indicate coordination numbers of Al ion.

これでみると TiO<sub>2</sub> は Al<sub>2</sub>O<sub>3</sub> とおなじく普通の酸性酸化物と塩基性酸化物の中間に位する。

前に<sup>6)</sup>スラグ中の Al<sub>2</sub>O<sub>3</sub> の挙動を考察した際に述べたように両性酸化物の酸、塩基としての挙動はその濃度と塩基度によつて決つてくる。本実験結果によると TiO<sub>2</sub> の濃度が低い間は Na<sup>+</sup> の易動度が TiO<sub>2</sub> により促進される点で TiO<sub>2</sub> は塩基として動らき、濃度がさうに高くなると Na<sup>+</sup> の易動度を妨げ TiO<sub>2</sub> は次第に酸としての動きが強くなつてくることが推測された。これは SiO<sub>2</sub>-Al<sub>2</sub>O<sub>3</sub> 系の電導度における Al<sub>2</sub>O<sub>3</sub> の挙動と類似であるのは極めて意義深い<sup>14)</sup>。然しながら TiO<sub>2</sub> の両性とゆうことに関するにはさらに塩基度による変化を考慮する必要があり、この点についてはさらに研究を進めよう予定である。

#### (4) 高濃度における TiO<sub>2</sub> の挙動

Fig. 5 で示されたように TiO<sub>2</sub> が高いところでは電導度一温度曲線に凝固点附近で異常性が現われたが、このような異常性はイオン電導体にはみられない。これは TiO<sub>2</sub> 自身の持つ半導体的性質が現われはじめたものと解される。一般に TiO<sub>2</sub> は固体状態において n 型半導体で電子伝導をすることが知られている。しかしながら溶融スラグにおける半導体的電導については、ここではまだ詳細な検討の段階には達していない。

#### (5) 総括

要するに以上種々議論したことから、スラグ中における TiO<sub>2</sub> の特異な挙動は根本的にはつきの二点に基づくことが分つた。

(i) Ti<sup>4+</sup> が 4 値であり、イオン半径が小さく、Ti-O 結合が強いとゆうこと。しかし TiO<sub>2</sub> はいわゆる“network-former”ではなく強い“network distortion”的動きをする。

(ii) Ti が遷移金属であり、TiO<sub>2</sub> が半導体酸化物であること。緒論で述べたように Wyatt と Tomlinson の見解の相違<sup>12)</sup> もこの TiO<sub>2</sub> の有する本質を混同しているためである。事実、本実験で得られたように TiO<sub>2</sub>

は電導に直接関与しないとゆうことは Tomlinson の考に近い。また Wyatt の見解は (ii) の事実を考慮すればよく説明されるであろう。これについては後報で述べる予定である。

このような TiO<sub>2</sub> の有する二面は実際操業においては TiO<sub>2</sub> を含むスラグの種々の特徴を発明する上に大きな手掛りを与える。例えば TiO<sub>2</sub> は一般にスラグの粘性をかなり減少させることができているが<sup>15)～18)</sup>。これは (i) の“network distortion”的動きによる。しかるに従来知られてきたように溶鉱炉で有害な作用をするのは Ti が遷移金属で低級化合物を作り、溶融点の高い成分に変化するからである。

## V. 結論

スラグ中における TiO<sub>2</sub> の挙動を明らかにする目的を以つて本研究を行なつたが、要約するとつきの通りである。

(1) Na<sub>2</sub>O/SiO<sub>2</sub>=0.40, 0.50 および 0.61 において TiO<sub>2</sub> を 5mol% ずつ 35mol% まで増加させた組成について、溶融状態の電導度を測定した。電導は Na<sup>+</sup> によるイオン電導の機構を持つている。各系列とも TiO<sub>2</sub> 約 10mol% までは電導度は余り大きく変化しないが、それ以上になると次第に減少する。

(2) Na<sup>+</sup> の易動度を知る目的で Na<sub>2</sub>O に関しての分子伝導度を求めた。TiO<sub>2</sub> が低いところでは TiO<sub>2</sub> を加えると分子伝導度はむしろ増加し、さらに TiO<sub>2</sub> が高くなるとこれが減少の傾向に変つてゆく。

(3) TiO<sub>2</sub> は両性であり、TiO<sub>2</sub> が低い濃度では塩基性が強く、高くなると次第に酸性が強くなることが推測された。

(4) Na<sub>2</sub>O/SiO<sub>2</sub>=0.50 の系列につき、TiO<sub>2</sub> 40～50mol% の範囲につき、電導度を測定した。TiO<sub>2</sub> がこのように高くなると、電導度一温度曲線に凝固点附近において異常変化が現われてくる。これは TiO<sub>2</sub> の半導体的性質が現われはじめたことを示すものである。

(5) 要するにスラグ中の TiO<sub>2</sub> の挙動は (i) Ti-O 結合が強く、Ti<sup>4+</sup> は強い“network distortion”的動きを持つてること、(ii) Ti は遷移金属であり、TiO<sub>2</sub> が半導体的性質を持つてることの二点に帰着する。

本研究は当時学生だった古林孝一君、大貫輝君および樋村脩君の助力によるところが大きく、同君等に謝意を表する。なお結果について種々有益な討論をして下さった東京大学生産技術研究所松下幸雄先生および坂上六郎

氏に深く感謝する。(昭和31年4月寄稿)

文 献

- 1) J. L. Wyatt: J. Metals, **2** (1950) 989
- 2) J. L. Wyatt: J. Metals, **2** (1950) 1382
- 3) 森, 松下: 鉄と鋼, **38** (1952) No. 5, 6
- 4) 森, 松下: 鉄と鋼, **38** (1952) No. 6, 5
- 5) 森, 松下: 鉄と鋼, **38** (1952) No. 7, 11
- 6) 森, 松下: 鉄と鋼, **38** (1952) No. 8, 15
- 7) G. Heidtkamp, K. Endell: Glästech. Ber., **14** (1936) 80
- 8) K. Endell, H. Hellbrügge: Angew. Chem., **53** (1940) 271
- 9) J. O'M. Bockris, J. A. Kitchner, S. Ignatowicz and J. W. Tomlinson: Trans. Farad Soc., **48** (1952) 75
- 10) A. Chrétien et W. Freundlich: Compt. rend., **233** (1951) 413
- 11) W. Schaller: Z. Erz. Metall. **7** (1954) 18
- 12) 武井: 電気化学, **23** (1955) 433
- 13) K. H. Sun: Glass Ind., **29** (1948) 73
- 14) J. O'M. Bockris, J. A. Kitchner, S. Ignatowicz and J. W. Tomlinson: Discuss. Farad Soc., (1948) 4, 265
- 15) K. Endell und G. Brinkmann: Stahl und Eisen, **59** (1939) 1319
- 16) P. Kozakevitch: Rev. Mét., **46** (1949) 572
- 17) M. G. Urbain: Compt. rend., **232** (1951) 330
- 18) A. M. Chernyshev, L. M. Tsylev i A. V. Rudneva: Izvest. Akad. Nauk SSSR, Otdel. Tekh. Nauk, (1953) No. 7, 1044

### 熔鋼中の水素に関する研究(III)\*

(鋼滓含有水素の定量について)

沢 繁 樹\*\*

### HYDROGEN IN MOLTEN STEEL (III)

(Analysis of Hydrogen in Steelmaking Slag)

*Shigeki Sawa. Dr. Eng.*

Synopsis:

A study was made of vacuum heating method up to 1200°C, and vacuum fusion method up to 1800°C in a graphite or Mo crucible for determination of hydrogen content in steelmaking slag. To analyse the gas extracted by vacuum fusion of the specimen, thermoconductivity method was applied, the accuracy of which was improved by means of new type thermoconductivity cells, made from thin Cu tubes dipped in ice water which was stirred by an impeller and separated from contact with ice by a network. The following conclusions were reached:

- 1) Hydrogen in steelmaking slag could not be extracted completely by vacuum heating only up to 1200°C for complete extraction of hydrogen. It should be heated to above 1400°C or its melting point.
- 2) H<sub>2</sub>O in the specimen was quantitatively decomposed in the vacuum furnace and extracted as H<sub>2</sub> when it was melted in a graphite crucible. This fact was confirmed by extracting H<sub>2</sub> in minerals such as gypsum and actinolite.
- 3) Strong adsorption of H<sub>2</sub> caused by vaporization of reduced material of slag specimen in the vacuum furnace was found, when it was heated at high temperature in a graphite crucible. The effect was minimized, on the contrary, when a Mo crucible was used.

\* 昭和29年4月本会講演大会にて要旨発表 \*\* 日本特殊鋼株式会社研究所、工博、工